

## ОПРЕДЕЛЕНИЕ ГИДРОДИНАМИЧЕСКИХ СИЛ, ДЕЙСТВУЮЩИХ НА ДНИЩЕ ПЛАВАЮЩЕЙ МАШИНЫ

Бугаев С. В. (*Одесская государственная академия строительства и архитектуры, г. Одесса*)

**Приведены некоторые результаты испытаний модели плавающей машины в аэродинамической трубе, позволившие установить закономерности распределения давления потока воздуха по поверхности подводной части корпуса машины. Предложена методика определения гидродинамических сил, действующих на днище плавающей машины. Результаты расчетов подтверждаются опытными данными.**

Повышение эффективности и надежности эксплуатации плавающих машин является важной научно-технической проблемой. Различные аспекты проблемы определения водоходных характеристик плавающей техники рассмотрены в работах А. П. Степанова, Н. Г. Груздева, П. В. Аксенова, Ю. А. Кононовича, Л. Г. Бархударова, В. В. Киселева, Н. Г. Бородих и других авторов. Однако в этих работах не учитывалось влияние гидродинамических сил и моментов, действующих на корпус машины при движении по воде. Это приводит к существенным погрешностям в расчетах водоходных параметров плавающих машин.

Из-за сложной и плохообтекаемой формы корпуса такой техники не представляется возможным получить аналитическое решение для определения гидродинамических сил и моментов, действующих на машину при движении по воде. Поэтому в инженерной практике используют приближенные методы расчета с грубыми допущениями, которые базируются на эмпирических зависимостях, полученных по результатам экспериментальных исследований.

Несмотря на важность этой проблемы до настоящего времени в полной мере она не изучена, очень мало публикаций по гидродинамике плавающих машин, практически нет обоснованных методов расчета водоходных характеристик плавающих машин.

Для восполнения этого пробела в лаборатории кафедры «Теория и проектирование корабля» Одесского национального морского университета автором были проведены испытания модели ПМ в аэродинамической трубе (подробно описанные в работе [3]), которые позволили установить закономерности распределения давления воздушного пото-

ка по поверхности корпуса модели при разных скоростях продувки, ориентациях машины в горизонтальной и вертикальной плоскостях. По данным испытаний построены эпюры давления воздушного потока на каждый элемент конструкции подводной части корпуса машины по разным сечениям и направлениям.

На основании результатов аэродинамических испытаний модели ПМ и положений теории подобия и размерностей разработаны методы расчета гидродинамических сил и моментов, действующих на элементы подводной части корпуса плавающей машины.

В данной статье рассматривается только расчет гидродинамической силы, действующей на днище машины.

В расчете принимается, что днище плавающей машины имеет форму плоской прямоугольной плиты параллельной горизонтальной плоскости. При движении ПМ на днище действует гидродинамическое давление воды, интенсивность которого по длине корпуса изменяется нелинейно. В передней части днища интенсивность давления имеет максимальное значение, а в кормовой – минимальное. Величина гидродинамической силы, действующей на днище корпуса машины ( $F_d$ ), зависит от скорости движения ( $v_{pm}$ ), характерной длины днища ( $L_d$ ), углов наклона плоскостей носовой части ( $\alpha_n$ ) и днища ( $\beta_d$ ).

В качестве факторов, существенно влияющих на величину  $F_d$  примем  $v_{pm}$ ,  $S_d$ ,  $\alpha_n$  и  $\beta_d$ , а в качестве функции отклика - величину силы  $F_d$ :

$$F_d = f(v_{pm}; L_{pm}; \alpha_n; \beta_d). \quad (1)$$

Зависимость (1) в общем случае может быть представлена в виде четырехмерной поверхности. Диапазон изменений и значений принятых факторов приведен в табл. 1.

Таблица 1  
Значения факторов, влияющих на величину силы  $F_d$

Факторы влияния	$v_{pm}$ (м/с) (Re)	$L_{pm}$ (м)	$\alpha_d(^{\circ})$ / (шаг 6 $^{\circ}$ )	$\beta_d(^{\circ})$ / (шаг 6 $^{\circ}$ )
код значение				
-1	0 (0)	5,6	34	+6 на нос
0	1,666668 (1,1E-05)	8,65	40	0
1	3,333336 (2,77E-05)	10,87	46	-6 на нос

В таблице 2 приведены значения силы  $F_d$ , действующей на днище ПМ в зависимости от  $v_{pm}$ ,  $L_{pm}$ ,  $\alpha_n$  и  $\beta_d$ .

Как видно из графиков, величина силы  $F_d$  имеет отрицательное значение во всем диапазоне, это свидетельствует о разряжении давления под днищем ПМ. С увеличением  $v_{pm}$   $F_d$  возрастает. Максимальная величина силы давления равна  $F_d = -65,38$  кН при следующих значениях:  $L_{pm} = 10,87$  м (+1) при  $v_{pm} = 1,83 \times 10^{-5}$  Re (+1);  $\alpha_n = 34^\circ$  и  $\beta_d = -6^\circ$ .

Для предварительной оценки влияния принятых факторов на исследуемую функцию  $F_d$  построены графики, которые показаны на рис. 2.

План проведения эксперимента представлен в табл. 3. Предварительный анализ графических зависимостей, приведенных на рис. 1 и 2 показал, что аппроксимация может быть произведена полным полиномом при четырех аргументах (четвертой степени) вида:

$$y = a_0 + a_1x_1 + a_2x_2 + a_3x_3 + a_4x_4 \dots + a_{n-2}x_3^4 + a_{n-1}x_4^4 + a_nx_1x_2x_3x_4. \quad (2)$$

Такой полином содержит 70 слагаемых, что создаст очень громоздкую модель. Для уменьшения количества слагаемых используется метод последовательного усложнения математической зависимости.

В качестве регрессионных моделей принималась частные полиномы от полного (2). Критерием оценки качества математической модели (ММ) принималась погрешность вычисления функции отклика (точность не менее 5%).

Коэффициенты регрессии определялись итерационным квази Ньютоновским методом [8] с заданным критерием конвергенции, равным 0,0001.

Результаты вычислений коэффициентов регрессии конкурирующих ММ приведены в табл. 4.

Оценка точности вычислений величины гидродинамической силы  $F_d$ , действующей на днище ПМ, проводилась с использованием рассматриваемых ММ в точках плана эксперимента с последующим их сравнением с экспериментальными данными, результаты вычислений приведены в табл. 5.

Таблица 2

Значения силы  $F_d$  в зависимости от  $V_{nm}$  и углов  $\alpha_n, \beta_d$ 

Величина угла наклона носовой части ( $\alpha_n$ ) и днища ( $\beta_d$ ) относительно потока						
$V(\phi_{aktop})$	L <sub>ПМ</sub> =5,6M(-1);					
	$\alpha=46^\circ H$ $\beta_d=+6\Delta$	$\alpha=40^\circ H$ $\beta_d=+6\Delta$	$\alpha=34^\circ H$ $\beta_d=+6\Delta$	$\alpha=46^\circ H$ $\beta_d=0\Delta$	$\alpha=40^\circ H$ $\beta_d=0\Delta$	$\alpha=34^\circ H$ $\beta_d=-6\Delta$
-1	0	0	0	0	0	0
0	-9,48	-10,2863	-11,0925	-11,8988	-12,705	-13,5113
1	-49,74	-51,5688	-53,3975	-55,2263	-57,055	-58,8838
L <sub>ПМ</sub> =8,65M(0);						
0	-11,2	-11,8	-12,4	-13	-13,6	-14,2
1	-35	-38,1375	-41,275	-44,4125	-47,55	-50,6875
L <sub>ПМ</sub> =10,87M(1)						
0	-9,65	-10,5225	-11,395	-12,2675	-13,14	-14,0125
1	-36,3	-39,935	-43,57	-47,205	-50,84	-54,475
					-58,11	-61,745
						-65,38

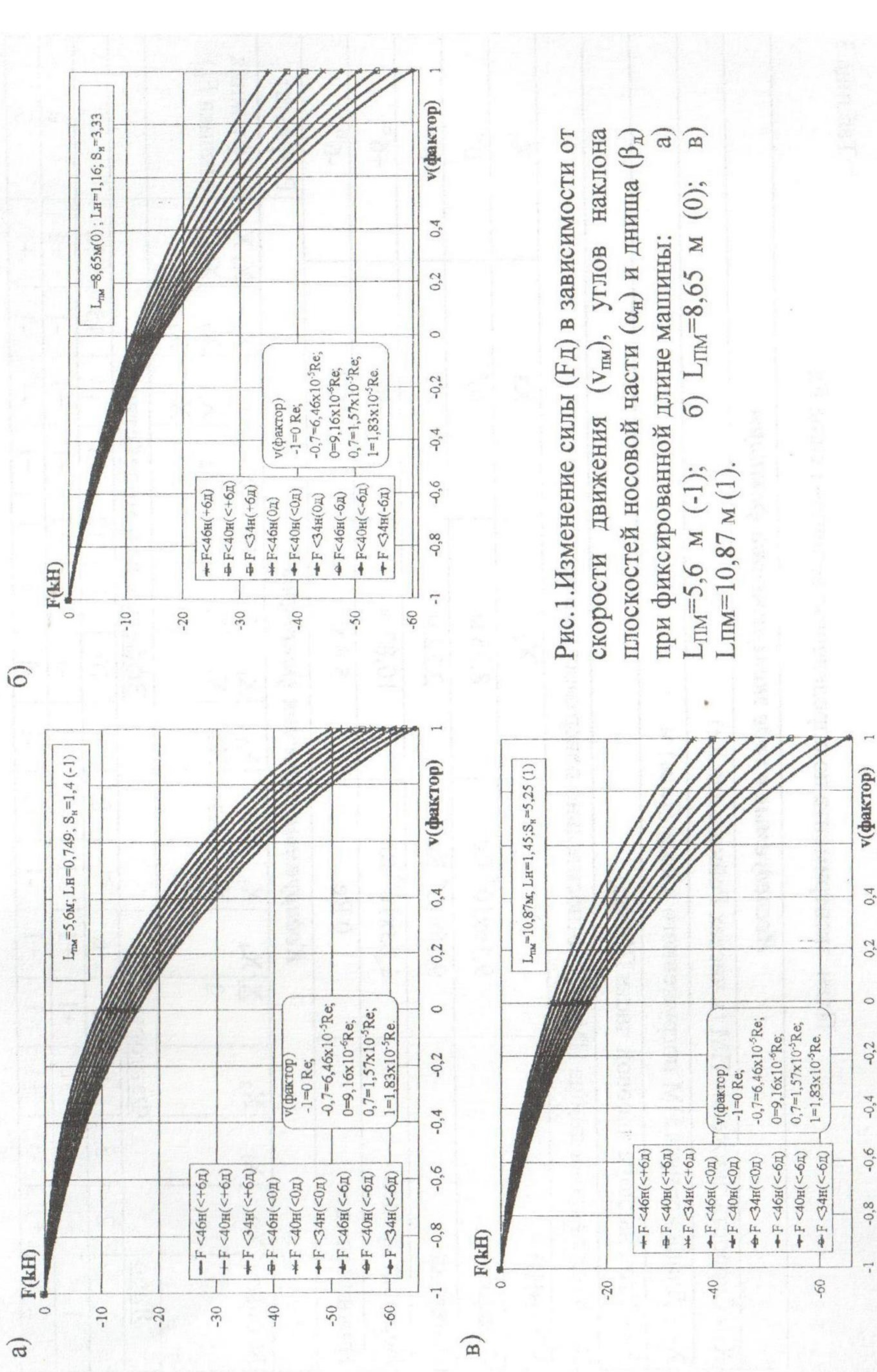


Рис. 1. Изменение силы (F<sub>д</sub>) в зависимости от скорости движения ( $v_{PM}$ ), углов наклона плоскостей носовой части ( $\alpha_n$ ) и днища ( $\beta_d$ ) при фиксированной длине машины:  
а)  $L_{PM}=5,6 \text{ м} (-1)$ ; б)  $L_{PM}=8,65 \text{ м} (0)$ ; в)  $L_{PM}=10,87 \text{ м} (1)$ .

### Таблица 3

## План эксперимента по определению величины силыFd

Исследуемые в ходе эксперимента факторы									
X <sub>1</sub>	Скорость движения ПМ (в числах Рейнольдса Re)								
X <sub>2</sub>	Длина корпуса ПМ погруженного в воду (L <sub>ПМ</sub> ) м								
X <sub>3</sub>	Угол наклона носовой части ПМ ( $\alpha_n$ ) °								
X <sub>4</sub>	Угол наклона днища ПМ ( $\beta_d$ ) ° относительно поверхности воды								
УРОВНИ	X <sub>1</sub>	X <sub>2</sub>	X <sub>3</sub>	X <sub>4</sub>	Результат				
Основной	9,16x10 <sup>-6</sup> Re	8,65 м	40°	0°					
Интервал	9,16x10 <sup>-6</sup> Re	2,22 м	6°	6°					
Верхний предел	1,83x10 <sup>-5</sup> Re	10,87 м	46°	+6°					
Нижний предел	0 Re	5,6 м	34°	-6°					
Кодируемые значения факторов									
№ опыта		X <sub>0</sub>	X <sub>1</sub>	X <sub>2</sub>	X	X <sub>1</sub>	X <sub>2</sub>	X <sub>3</sub>	X <sub>4</sub>
					3	X <sub>4</sub>	X <sub>1</sub>	X <sub>2</sub>	X <sub>3</sub>
						X <sub>2</sub>	X <sub>3</sub>	X <sub>4</sub>	X <sub>1</sub>
						X <sub>3</sub>	X <sub>4</sub>	X <sub>1</sub>	X <sub>2</sub>
							X <sub>4</sub>	X <sub>3</sub>	X <sub>2</sub>
Ядро	Факторы								
1	2	3	4	5	6	7	8	9	10
1	+1	-1	-1	+1	+1	-1	-1	-1	-1
2	+1	-1	+1	-1	+1	-1	+1	-1	+1

Продолжение таблицы 3

	1	2	3	4	5	6	7	8	9	10	11	12	13	14	15	16	17
3	+1	+1	-1	-1	+1	-1	-1	+1	+1	-1	-1	+1	+1	+1	+1	+1	-53,4
4	+1	+1	+1	+1	+1	+1	+1	+1	+1	+1	+1	+1	+1	+1	+1	+1	-36,3
5	+1	-1	-1	-1	+1	+1	+1	+1	+1	-1	-1	-1	+1	+1	-1	0	
6	+1	-1	+1	+1	+1	-1	-1	+1	-1	+1	+1	+1	-1	-1	+1	0	
7	+1	+1	-1	+1	+1	-1	-1	+1	-1	+1	-1	+1	-1	-1	-1	-1	-49,74
8	+1	+1	+1	-1	+1	+1	-1	-1	+1	+1	-1	-1	+1	-1	-1	-1	-43,57
9	+1	-1	-1	+1	-1	+1	-1	-1	+1	+1	-1	+1	-1	+1	-1	0	
10	+1	-1	+1	-1	-1	-1	+1	-1	+1	-1	+1	+1	-1	+1	-1	0	
11	+1	+1	+1	-1	-1	-1	-1	-1	+1	-1	+1	+1	+1	+1	-1	-1	-64,37
12	+1	+1	+1	+1	-1	+1	+1	+1	-1	-1	-1	+1	-1	-1	-1	-1	-58,11
13	+1	-1	-1	-1	-1	+1	+1	+1	+1	+1	-1	-1	-1	-1	-1	0	
14	+1	-1	+1	+1	-1	-1	-1	+1	+1	-1	-1	-1	-1	-1	+1	0	
15	+1	+1	-1	+1	-1	-1	+1	-1	-1	+1	+1	-1	-1	+1	-1	+1	-60,7
16	+1	+1	+1	-1	-1	+1	-1	-1	-1	+1	-1	-1	-1	+1	-1	-1	-65,38
Центр	0	0	0	0	0	0	0	0	0	0	0	0	0	0	0	-13,6	

Таблица 4

## Коэффициенты регрессии конкурирующих математических моделей

Коэффициенты регрессии ММ (1): $y = a_0 + a_1x_1 + a_2x_2 + a_3x_3 + a_4x_4 + a_5x_1x_2 + a_6x_1x_3 + a_7x_1x_4 + a_8x_2x_3 + a_9x_2x_4 + a_{10}x_3x_4 + a_{11}x_1x_2x_3 + a_{12}x_1x_3x_4 + a_{13}x_1x_2x_4 + a_{14}x_2x_3x_4.$						
Const. $a_0$	$a_1$	$a_2$	$a_3$	$a_4$	$a_5$	$a_6$
-26,9198	-27,8474	2,427391	0,961987	4,593842	1,958013	1,05706
$a_8$	$a_9$	$a_{10}$	$a_{11}$	$a_{12}$	$a_{13}$	$a_{14}$
4,416912	0,763584	0,686488	1,229817	1,128901	-0,31941	-0,74861
Коэффициенты регрессии ММ (2): $y = a_0 + a_1x_1 + a_2x_2 + a_3x_3 + a_4x_4.$						
Const. $a_0$	$a_1$	$a_2$	$a_3$	$a_4$	$a_5$	$a_6$
-26,1865	-26,9731	1,553141	1,366891	4,096894		
Коэффициенты регрессии ММ (3): $y = a_0 + a_1x_1 + a_2x_2 + a_3x_3 + a_4x_4 + a_5x_1x_2 + a_6x_1x_3 + a_7x_1x_4 + a_8x_2x_3.$						
Const. $a_0$	$a_1$	$a_2$	$a_3$	$a_4$	$a_5$	$a_6$
-13,6	-26,9731	1,553093	1,366877	4,096851	-5,82332	-5,8233

Продолжение таблицы 4

Коэффициенты регрессии ММ (4):  $y = a_0 + a_1x_1 + a_2x_2 + a_3x_3 + a_4x_4 + a_5x_1^2 + a_6x_2^2 + a_7x_3^2 + a_8x_4^2 + a_9x_1x_2 + a_{10}x_1x_3 + a_{11}x_1x_4 + a_{12}x_2x_3 + a_{13}x_2x_4 + a_{14}x_3x_4$ .

Const. $a_0$	$a_1$	$a_2$	$a_3$	$a_4$	$a_5$	$a_6$	$a_7$
-13,6	-26,9731	1,553126	1,366875	4,096876	-3,34328	-3,34328	-3,34328
$a_8$	$a_9$	$a_{10}$	$a_{11}$	$a_{12}$	$a_{13}$	$a_{14}$	
-3,34328	1,553126	1,366875	0,450626	-0,00062	4,096876	1,355625	-
Коэффициенты регрессии ММ (5): $y = a_0 + a_1x_1 + a_2x_2 + a_3x_3 + a_4x_4 + a_5x_1^2 + a_6x_2^2 + a_7x_3^2 + a_8x_4^2 + a_9x_1x_2 + a_{10}x_1x_3 + a_{11}x_1x_4 + a_{12}x_2x_3 + a_{13}x_2x_4 + a_{14}x_3x_4 + a_{15}x_1x_2x_3 + a_{16}x_2x_3x_4 + a_{17}x_1x_3x_4 + a_{18}x_1x_2x_3x_4$ .							
Const. $a_0$	$a_1$	$a_2$	$a_3$	$a_4$	$a_5$	$a_6$	$a_7$
-13,6	-26,9731	1,553128	1,366864	4,096874	-3,34328	-3,34328	-3,34328
$a_8$	$a_9$	$a_{10}$	$a_{11}$	$a_{12}$	$a_{13}$	$a_{14}$	$a_{15}$
-3,34328	1,553124	1,366879	0,450615	-0,00062	4,096883	1,355636	0,450615
$a_{16}$	$a_{17}$	$a_{18}$					
0,000622	-0,00064	0,000622					

Оценка точности вычисления величины гидродинамической силы  $F_d$

Таблица 5

		№ оцениваемой математической модели														
		Модель №1			Модель №2			Модель №3			Модель №4			Модель №5		
Y	Y <sub>ММ</sub>	Знач-е	Ошибка	Знач-е	Ошибка	Знач-е	Ошибка	Y <sub>ММ</sub>	ΔY	Y <sub>ММ</sub>	ΔY	Y <sub>ММ</sub>	ΔY	Y <sub>ММ</sub>	ΔY	
		1	2	3	4	5	6	7	7	8	8	9	9	10	10	11
0	1,63202	-1,63202	4,69729	-4,69729	3,91063	-3,91063	-1,80689	1,80689	-1,35566	1,35566	-0,90561	0,90561	1,35561	-1,35561	-1,35561	1,35566
0	0,65732	-0,65732	5,06979	-5,06979	4,28307	-4,28307	0,90561	-0,90561	-0,90561	0,90561	-0,90561	0,90561	-0,90561	0,90561	-0,90561	1,35561
-53,4	-51,5598	-1,84015	-51,9828	-1,41723	-52,7694	-0,63058	-52,4969	-0,90309	-0,90309	-52,0444	-0,90309	-52,0444	-0,90309	-52,0444	-0,90309	-1,35558
-36,3	-35,8508	-0,4492	-46,1427	9,84271	-46,9295	10,6295	-46,9295	-38,1069	-38,1069	1,80690	-37,6557	1,80690	-37,6557	1,80690	-37,6557	1,35569
0	0,36884	-0,36884	1,96351	-1,96351	1,17688	-1,17688	-0,90439	0,90439	-0,90439	0,90439	-1,35567	0,90439	-1,35567	0,90439	-1,35567	1,35567
0	1,75979	-1,75979	7,80357	-7,80357	7,01682	-7,01682	1,80561	-1,80561	1,80561	-1,80561	-1,35562	1,80561	-1,35562	1,80561	-1,35562	1,35567
-49,74	-50,2511	0,51106	-49,249	-0,49101	-50,0357	0,29566	-47,9319	-1,80809	-1,80809	-48,3844	-1,80809	-48,3844	-1,80809	-48,3844	-1,80809	-1,35559
-43,57	-43,1063	-0,46365	-48,8765	5,30649	-49,6632	6,09323	-44,4744	0,90441	0,90441	-44,9256	0,90441	-44,9256	0,90441	-44,9256	0,90441	1,35556
0	0,03295	-0,03295	-3,4965	3,4965	-4,28307	4,28307	0,90561	-0,90561	0,90561	-0,90561	1,35559	-0,90561	1,35559	-0,90561	1,35559	-1,35559
0	1,00766	-1,00766	-3,124	3,124	-3,91064	3,91064	-1,80689	1,80689	-1,80689	1,80689	-1,35556	1,80689	-1,35556	1,80689	-1,35556	1,35561
-64,37	-64,5452	0,17518	-60,1766	-4,19344	-60,9631	-3,40688	-66,1744	1,80441	1,80441	-65,7257	1,80441	-65,7257	1,80441	-65,7257	1,80441	1,35568
-58,11	-56,8942	-1,21578	-54,3365	-3,77351	-55,1232	-2,98682	-57,2044	-0,90559	-0,90559	-56,7544	-0,90559	-56,7544	-0,90559	-56,7544	-0,90559	-1,35557

Продолжение таблицы 5

№ оцениваемой математической модели

T <sub>09h0e</sub> T <sub>09hne</sub>	Модель №1				Модель №2				Модель №3				Модель №4				Модель №5			
	Знач-е Y <sub>MM</sub>	Ошибка $\Delta Y$																		
0	1,29614	-1,29614	-6,23028	6,23028	-7,01682	7,01682	1,80561	-1,80561	1,35566	-1,35566	1,35566	-1,35566	1,35567	-1,35567	1,35567	-1,35567				
0	-0,09481	0,09481	-0,39022	0,39022	-1,17688	1,17688	-0,90439	0,90439	-1,35567	1,35567	-1,35567	1,35567	-1,35567	1,35567	-1,35567	1,35567				
-60,7	-58,524	-2,17604	-57,4428	-3,25722	-58,2294	-2,47064	-61,6069	0,90692	-62,0556	1,35564	-62,0556	1,35564	-62,0556	1,35564	-62,0556	1,35564				
-65,38	-64,1787	-1,20133	-57,0703	-8,30972	-57,8569	-7,52307	-63,5744	-1,80559	-64,0244	-1,35558	-64,0244	-1,35558	-64,0244	-1,35558	-64,0244	-1,35558				
-13,6	-26,9198	13,3198	-26,1865	12,5865	-13,6	2,57E-05	-13,6	1,34E-05												

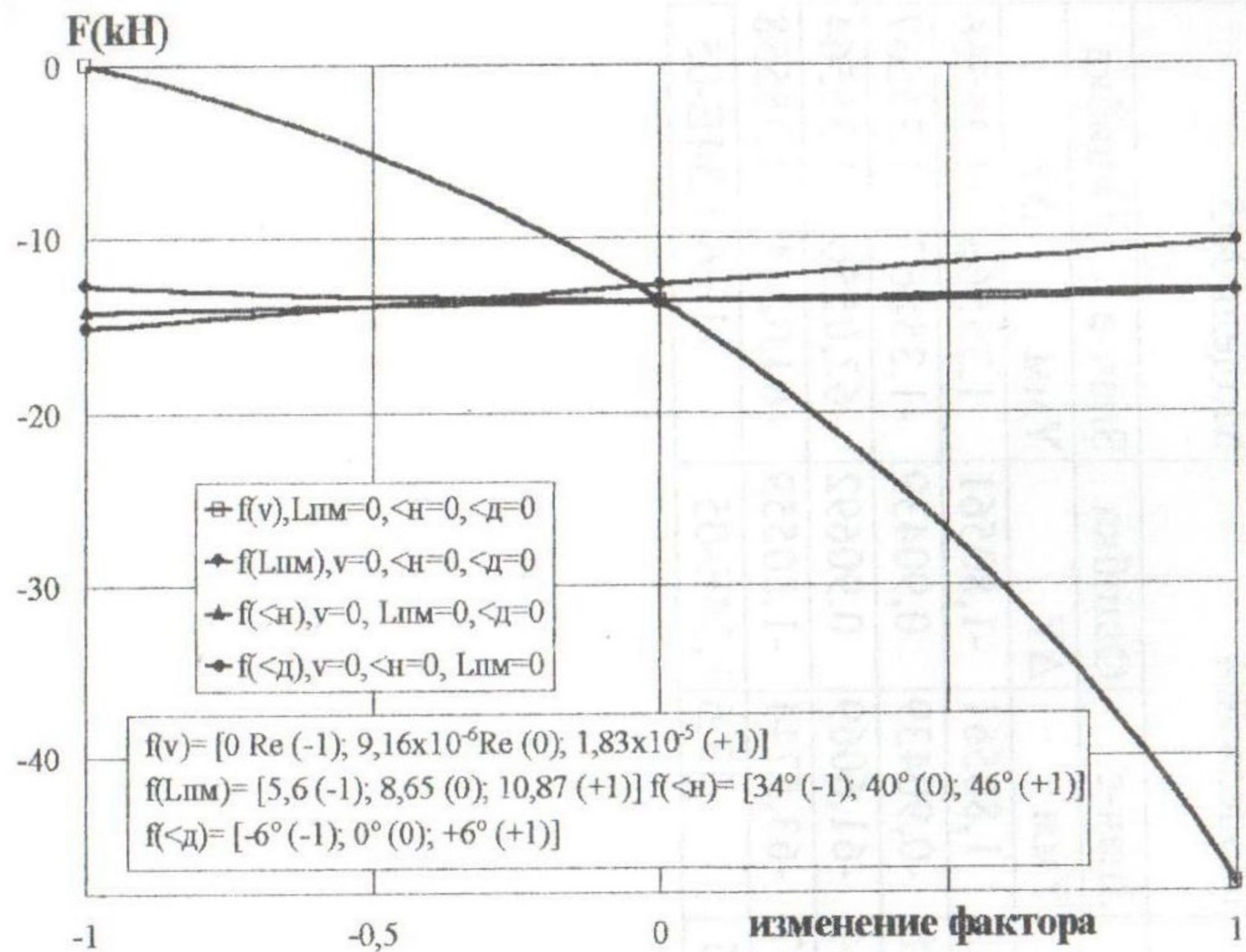


Рис 2. Графики влияния факторов  $v$ ,  $L_{\text{ПМ}}$ ;  $\alpha_h$  (на графике -  $h$ );  $\beta_d$  (на графике - $d$ ) на исследуемую функцию отклика  $F_d$

Анализ полученных результатов показал, что первые две математические модели не могут быть использованы в расчетах, так как максимальная погрешность для точек в центре плана составляет около 100%, что недопустимо.

Математическая модель №3 также не обеспечивает необходимую точность в расчетах для точек, расположенных на краю плана, ошибка составляет до 22%. Поэтому она не может быть использована в расчетах. Модели №4, №5 удовлетворяют необходимой точности вычислений (для ММ №4 погрешность составила около 3,8%, для ММ №5 ~ 3,6%) и могут быть рекомендованы для расчетов. Более предпочтительна модель № 4 в связи с тем, что она состоит из 14 элементов, что на четыре элемента меньше, чем у модели №5. Во всех остальных аспектах эти модели равнозначны.

Сравнительный анализ показал, что использовать ММ без учета эффектов взаимодействия недопустимо в связи с тем, что они оказывают существенное влияние на весь процесс гидродинамического взаимодействия днища ПМ и движущейся воды.

Для оценки адекватности принятой модели был построен график остатков в логарифмическом масштабе, который приведен на рисунке 3.

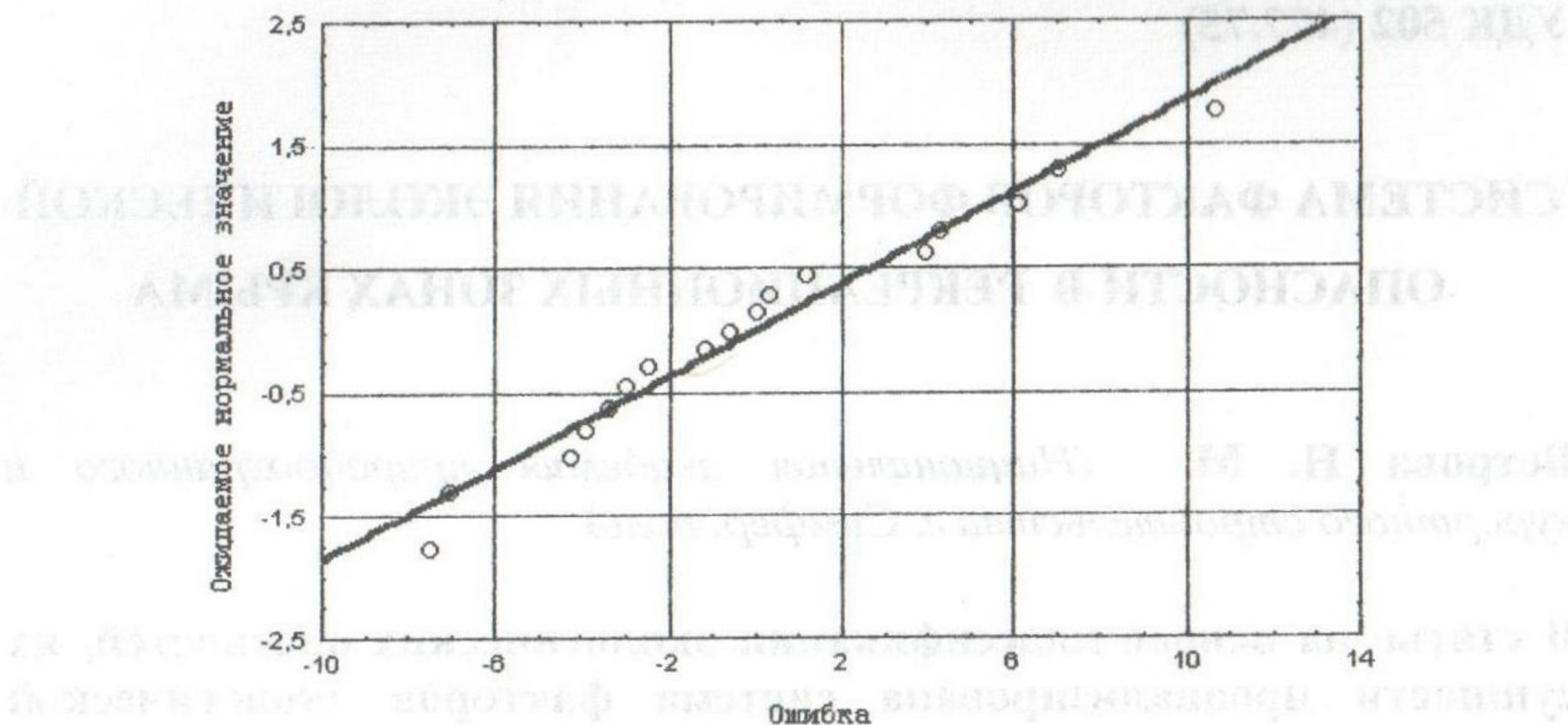


Рис. 3. График погрешностей величины гидродинамической силы  $F_d$ , полученный при использовании ММ №4.

**Вывод.** Предложенная математическая модель с достаточной для инженерных задач точностью описывает изменение величины  $F_d$  в зависимости от скорости движения ПМ и её конструктивных особенностей и может быть рекомендована для использования в расчетах ходового дифферента ПМ.

#### Литература

1. Степанов А.П. Конструкция и расчет плавающих машин. - М.: Машиностроение, 1978. -232.С.
2. Степанов А.П. Методика расчета основных водоходных качеств плавающих машин. Навчальний посібник. М. АБТВ, 1971.- 41 С.
3. Бугаев С.В. Аэродинамические исследования распределения давления по контуру погруженной части плавающей машины.// Вісник ОДМУ – 1999.- №4.С.85-93.
4. Бугаев С.В. Плавающая машина. Теория и эксперимент.- Одеса, Друк. ОДМУ., 2000.-253 С.
5. Крыжный А.В., Бугаев С.В. Изучение конструктивных особенностей плавающей техники с использованием ПЭВМ. // Матеріали 5-ї міжнарод. наук.-метод. конф. "Удосконалення підготовки спеціалістів"- Одеса: ОДАБА, 2000.- С.
6. Методы подобия и размерности в механике. М.,: Наука, 1967.- 148 С.
7. Адлер Ю. П., Маркова Е. В., . Грановский Ю. В. Планирование эксперимента при поиске оптимальных условий М.: Наука, 1976.- 69-154 С.
8. Боровиков В.П., Боровиков И.П. Statistica статистический анализ и обработка данных в среде Windows. М: «Филинъ», 1997. - 583 С.